

ประสีทธิภาพของเอนไซม์ N-ACETYLMURAMOYL-L-ALANINE AMIDASE
จาก *Bacillus subtilis* ที่ได้จากการโคลนยืนต่อการซักนำให้เซลล์แบคทีเรียแตก

นายไสว ศิริกรรษา

วิทยานิพนธ์นี้เป็นส่วนหนึ่งของการศึกษาหลักสูตรปริญญาวิทยาศาสตรมหาบัณฑิต
ภาควิชาจุลชีววิทยา

บัณฑิตวิทยาลัย จุฬาลงกรณ์มหาวิทยาลัย

พ.ศ. 2539

ISBN 974-634-395-5

ลิขสิทธิ์ของบัณฑิตวิทยาลัย จุฬาลงกรณ์มหาวิทยาลัย

EFFICIENCY OF *Bacillus subtilis* N- ACETYLMURAMOYL-L-ALANINE
AMIDASE FROM THE CLONED GENE ON BACTERIAL LYtic INDUCTION

Mister Sophon Sirisattha

A Thesis Submitted in Partial Fulfillment of The Requirements

for The Degree of Master of Science

Department of Microbiology

Graduated School

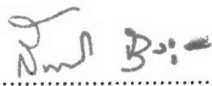
Chulalongkorn University

1996

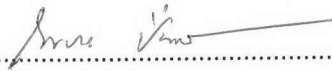
ISBN 974-634-395-5

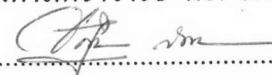
หัวข้อวิทยานิพนธ์ ประสีทิชีภาพของเอนไซม์ N-ACETYLMURAMOYL-L-ALANINE AMIDASE จาก *Bacillus subtilis* ที่ได้จากการโคลนยืนต่อการซักนำให้เซลล์แบคทีเรียแตก
 โดย นายไสวณ ศิริศรัทธา¹
 ภาควิชา จุลชีววิทยา²
 อาจารย์ที่ปรึกษา ผู้ช่วยศาสตราจารย์ ดร. อัญชริศา สารชร³

บัณฑิตวิทยาลัย จุฬาลงกรณ์มหาวิทยาลัย อนุมัติให้นับวิทยานิพนธ์ฉบับนี้เป็นส่วนหนึ่งของการศึกษาตามหลักสูตรปริญญามหาบัณฑิต

 คอมบดีบัณฑิตวิทยาลัย
 (รองศาสตราจารย์ ดร. สันติ ถุงสุวรรณ)

คณะกรรมการสอบวิทยานิพนธ์

 ประธานกรรมการ
 (รองศาสตราจารย์ ดร. ไพรاة ปินนาพนิชการ)

 อาจารย์ที่ปรึกษา
 (ผู้ช่วยศาสตราจารย์ ดร. อัญชริศา สารชร)

 กรรมการ
 (ผู้ช่วยศาสตราจารย์ นภา ศิรังสรรค์)

 กรรมการ
 (ผู้ช่วยศาสตราจารย์ จิรากร ชนีวัน)

พิมพ์ด้นฉบับที่ด้วยอวิทยานิพนธ์ภาษาในกรอบสีเขียวนี้เพียงแผ่นเดียว

ສາມາດ ສີຣີຄະຫຼາ : ປະລິທິກາພຂອງເອນໄຊມ N-ACETYLMURAMOYL-L-ALANINE AMIDASE ຈາກ Bacillus subtilis ທີ່ໄດ້ຈາກກາໂຄລັນຍືນຕ່ອງກາຮັກນໍາໃຫ້ເຊຸლ໌ແປກທີ່ເຮັດວຽກ (EFFICIENCY OF Bacillus subtilis N-ACETYLMURAMOYL-L-ALANINE AMIDASE FROM THE CLONED GENE ON BACTERIAL LYtic INDUCTION) ອ.ທີ່ປຶກກາ : ພສ.ດຣ. ອັນຈີດ ສວາຮ່າ. 90 ໜ້າ. ISBN 974-634-395-5

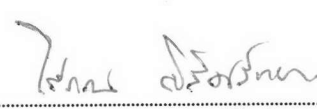
N-acetylmuramoyl-L-alanine amidase ຂະດ 30 ກິໂລຄາລຕັນຂອງ Bacillus subtilis 168 ຊຶ່ງຄອດຮ້າສາມາຈາກຍືນ cwl A ໃນພລາສມືດ Pinpoint Xa-1 ມີບັນເວນໃຫ້ໄຢໂໂຕິນມາເກາະ ຈຶ່ງສາມາຄທໍາໃຫ້ບັນລຸທີ່ຂຶ້ນໄດ້ໂດຍ affinity chromatography ຂົນດ avidin resin ກາຮັດສອບປະລິທິກາພຂອງເອນໄຊມກົ່ງບັນລຸທີ່ໃນກາຮັດທໍາໃຫ້ແປກທີ່ເຮັດວຽກ 6 ສາຍພັນຖຸຂອງ Bacillus subtilis 168 Micrococcus luteus TISTR 745 Streptococcus faecium IFO 3128 Staphylococcus aureus TISTR 118 Escherichia coli TISTR 780 Klebsiella pneumoniae IFO 3317 ຊຶ່ງມີລັກນະໂຄຮງສ້າງຂອງຜັນໜ້າເຊຸລ໌ແຕກຕ່າງກັນແຕກ ພຍວ່າເອນໄຊມສາມາຄຮັກນໍາໃຫ້ເພາະ Bacillus subtilis 168 ແລະ Klebsiella pneumoniae IFO 3317 ແຕກກາຮັດຈັດບັນເວນເກາະຂອງໄຢໂໂຕິນແລະໄຢໂໂຕິນອອກຈາກໄມເລກຸລຂອງເອນໄຊມທີ່ໃຫ້ປະລິທິກາພຂອງເອນໄຊມໃນກາຮັດທໍາໃຫ້ແປກທີ່ເຮັດວຽກທີ່ກ່າວ

C526172 : MAJOR MICROBIOLOGY
KEY WORD: Bacillus subtilis 168 / AMIDASE / CLONING

SOPHON SIRISATTHA : EFFICIENCY OF Bacillus subtilis N-ACETYL-MURAMOYL-L-ALANINE AMIDASE FROM THE CLONED GENE ON BACTERIAL LYTIC INDUCTION. THESIS ADVISOR : ASSIST. PROF. ANCHARIDA SVARACHORN, Ph.D. 90 pp. ISBN 974-634-395-5

N-acetylmuramoyl-L-alanine amidase, the 30 kilodaltons protein of Bacillus subtilis 168 encoded from cwl A gene in Pinpoint Xa-1 plasmid could be purified by affinity chromatography using specific binding between avidin resin and biotin at biotin binding site on the enzyme. Efficiency of the partial purified enzyme on cellular lysis of 6 bacterial strains : Bacillus subtilis 168 Micrococcus luteus TISTR 745 Streptococcus faecium IFO 3128 Staphylococcus aureus TISTR 118 Escherichia coli TISTR 780 and Klebsiella pneumoniae IFO 3317 having different cell wall structure was tested. The lysis occurred in Bacillus subtilis 168 and Klebsiella pneumoniae IFO 3317. Removal of biotin and biotin binding site from the enzyme molecule resulted in higher efficiency on cellular lysis induction of both sensitive strains.

ภาควิชา จุลชีววิทยา

ลายมือชื่อนิสิต 

สาขาวิชา จุลชีววิทยาทางอุตสาหกรรม

ลายมือชื่ออาจารย์ที่ปรึกษา 

ปีการศึกษา 2538

ลายมือชื่ออาจารย์ที่ปรึกษาร่วม

กิตติกรรมประกาศ

ข้าพเจ้าขอก拉บขอบพระคุณ ผู้ช่วยศาสตราจารย์ ดร. อัญชริดา สารชร
ที่ได้กรุณาเป็นอาจารย์ที่ปรึกษาวิทยานิพนธ์ และได้ให้คำปรึกษา ความช่วยเหลือ
คำแนะนำ ตลอดมาจนทำให้วิทยานิพนธ์ฉบับนี้ได้สำเร็จลุล่วงไปด้วยดี

ขอกราบขอบพระคุณ รองศาสตราจารย์ ดร. ไพรاة ปั่นพาณิชการ ผู้
ช่วยศาสตราจารย์ นภา ศิรังสรรค์ ผู้ช่วยศาสตราจารย์ จิราภรณ์ ชนียวนัน ที่กรุณา
รับเป็นกรรมการสอบแก้ไขวิทยานิพนธ์ให้สมบูรณ์ยิ่งขึ้น

ขอขอบพระคุณคณาจารย์ภาควิชาจุลชีววิทยา เจ้าหน้าที่ทุก ๆ ท่าน ที่ให้
ความช่วยเหลือและความอนุเคราะห์ในการทำวิจัย

ขอขอบคุณ เพื่อนๆ พี่ๆ และน้องๆ ที่เคยเป็นกำลังใจในการทำวิทยา
นิพนธ์อย่างเสมอมา

ท้ายที่สุดขอกราบขอบพระคุณ คุณแม่ พี่ และน้อง ที่เคยเป็นกำลังใจให้
คำปรึกษา และให้ความช่วยเหลือทุกๆ สิ่ง อย่างหาที่สุดไม่ได้

สารบัญ

	หน้า
บทคัดย่อภาษาไทย	๑
บทคัดย่อภาษาอังกฤษ.....	๒
กิตติกรรมประกาศ.....	๓
สารบัญ.....	๔
สารบัญตาราง.....	๕
สารบัญรูป.....	๖
คำย่อ.....	๗
บทที่	
1 บทนำ.....	1
2 อุปกรณ์และวิธีการทดลอง.....	14
3 ผลการทดลอง.....	30
4 สรุปและวิจารณ์ผลการทดลอง.....	65
รายการอ้างอิง.....	70
ภาคผนวก	75
ประวัติผู้เขียน.....	89

สารบัญตาราง

ตารางที่	หน้า
1 แสดงขนาดของชิ้นดีอีนเอรูปเก็นที่ได้จากการนำพลาสมิดที่สกัด ได้จากโโคโลนีที่แสดงบริเวณไส้โดยรอบมาตัดด้วยเรสต์ริกชั่นเอน ไซม์ชนิดต่างๆ.....	38
2 แสดงกิจกรรมของเอนไซม์ NA-L-alanine amidase ซึ่งเตรียม ^{ได้} ได้จากทราบสฟอร์เมนที่มีพลาสมิด pSO 2 และทราบฟอร์เมนท์ ที่มีพลาสมิด pBA47 BL.....	42
3 แสดงผลของการเติม IPTG ให้เซลล์ทราบสฟอร์เมนท์หมายเลข 2D ที่ระยะการเจริญเตกต่างกัน ต่อ กิจกรรมของเอนไซม์ NA- L- alanine amidase ที่สกัดได้.....	44
4 แสดงผลของระยะเวลาในการบ่มเซลล์ทราบสฟอร์เมนท์หมายเลข 2D หลังการเติม IPTG ต่อ กิจกรรมของเอนไซม์ที่เตรียมได้.....	45
5 แสดงอัตราเร็วของการแตกของเซลล์ และอัตราเร็วของการแตกสัม พัทธ์ของเซลล์ <i>Bacillus subtilis</i> 168 ในสารละลายน้ำท่อสบายนิค ต่างๆ.....	52
6 แสดงอัตราเร็วของการแตกของเซลล์ และอัตราเร็วของการแตกสัม พัทธ์ของเซลล์ <i>Klebsiella pneumoniae</i> IFO 3317 ในสารละลายน้ำ ท่อสบายนิคต่างๆ.....	55
7 แสดงผลของการกำจัดโปรตีน บริเวณจุดจำของเอนไซม์ใบไอดิน ไลเกสออกจากเอนไซม์NA- L-alanine amidase ด้วยเอนไซม์แฟกเตอร์ เอ็กซ์โอโปรตีโนสต์ ต่อ กิจกรรมของเอนไซม์ NA- L-alanine amidase..	57
8 แสดงอัตราเร็วของการแตกของเซลล์ และอัตราเร็วของการแตกสัม พัทธ์ของเซลล์ <i>Bacillus subtilis</i> 168 ในสารละลายน้ำไชม์กิงบริ สุทธิที่กำจัดโปรตีน บริเวณจุดจำของเอนไซม์ใบไอดิน ไลเกส	

ตารางที่	หน้า
ออกเมื่อทดสอบที่ระยะเวลาต่างๆ.....	60
9 แสดงอัตราเร็วของการแตกของเชลล์และอัตราเร็วของการแตกสัมพัทธ์ของเชลล์ <i>Klebsiella pneumoniae</i> IFO 3317 ในสารละลายเอนไซม์กิงบริสทธิ์ที่กำจัดโปรตีน บริเวณดีเข้มของเอนไซม์ในไอโอดินไลเกสออกเมื่อทดสอบที่ระยะเวลาต่างๆ.....	63

สารบัญรูป

รูปที่ หน้า

1	แสดงลักษณะของสายไกลแคน.....	1
2	แสดงการเชื่อมต่อของสายเปปไทด์ที่หมู่คาร์บอคิลของ MurNAC.....	2
3	แสดงความแตกต่างของผนังเซลล์ของแบคทีเรียรับน้ำใจและของ แบคทีเรียกรัมลบ.....	2
4	ไดอะแกรมการแบ่งกลุ่มเปปติโดไกลแคน.....	4
5	แสดงตำแหน่งการย่อสายสายเปปติโดไกลแคนโดยเออนไซม์ใน กลุ่มอโตไลซิน.....	5
6	แสดงลำดับเบสที่ได้หลังการตัดบริเวณเออนไซม์เรสตริกชั่นของพลาส มิด PinPoint Xa ชนิดต่างๆ ด้วยเรสตริกชั่นเอนไซม์ที่กำหนด.....	13
7	แสดงแผนภาพการตัดรีคอมบิแนนท์พลาสมิด pBA 47 BI ซึ่งมีชีน ดีเอ็นเอ(EcoRI/Bam HI)ขนาด 2.3 กิโลคาลตัน ครอบคลุมยีน cwl A ที่เป็นรหัสของเอนไซม์ NA-L-alanine amidase ด้วยเรสตริกชั่นเอน ไซม์ Kpn I และ Bam HI.....	31
8	แสดงภาพของผลการตัดรีคอมบิแนนท์พลาสมิด pBA 47 BI ด้วย เรสตริกชั่น เ昂ไซม์ Kpn I และ Bam HI บนagar โรสเจล.....	32
9	แสดงแผนภาพการตัดพลาสมิดพาหะ PinPoint Xa-1 ด้วยเรสตริก ชั่นเอนไซม์ Kpn I และ Bgl II.....	34
10	รูปชิ้นดีเอ็นเอที่ได้จากการตัดพลาสมิดพาหะ PinPoint Xa-1 ด้วยเรส ตริกชั่น เ昂ไซม์ Kpn I และ Bgl II บนagar โรสเจล.....	35
11	แสดงแผนภาพการเชื่อมต่อ yin cwl A และพลาสมิดพาหะ PinPoint Xa-1 ด้วยเอนไซม์ที่ไฟฟ์ไลเกส.....	36
12	แสดงบริเวณไขของทราบสฟอร์เมนท์หมายเลขอ 2D บนอาหารแข็ง ถูตร LB ที่มีการเติมผนังเซลล์ของ <i>Bacillus subtilis</i> 168.....	37
13	แสดงรีคอมบิแนนท์พลาสมิดของทราบสฟอร์เมนท์ที่คาดว่าจะได้.....	38
14	แสดงแผนภาพการตัดพลาสมิดที่ได้จากโคลนนีซึ่งแสดงบริเวณไส้โดย	

หัวข้อ	หน้า
รอบคั่ยเรสตริกชันเออนไซม์ชนิดต่างๆ.....	39
15 แสดงผลการตัดรีกอมบิแนนท์พลาสมิด (pSO 2) ซึ่งสกัดได้จาก <i>Escherichia coli</i> ทราบสภาพรูปแบบที่หมายเลขอ 2D ด้วยเรสตริกชันเออนไซม์ชนิดต่างๆ.....	41
16 กราฟแสดงการเปลี่ยนแปลงของค่าการดูดกลืนแสง ที่ความยาวคลื่น 540 นาโนเมตร เนื่องจากผนังเซลล์ถูกย่อยลายโดยเออนไซม์ NA- L-alanine amidase ที่สกัดจาก <i>Escherichia coli</i> JM109 ที่มีรีกอมบิแนนท์พลาสมิดชนิดต่างๆ.....	43
17 แสดงโครโนไตรแกรમของการทำให้อ่อนไซม์ NA-L-alanine amidase ที่สกัดได้จากเซลล์ทราบสภาพรูปแบบที่หมายเลขอ 2D บริสุทธิ์โดยชุด PinPoint™ Xa-1 protein purification system.....	47
18 แสดงขนาดของโปรตีนที่พบเป็นองค์ประกอบของเออนไซม์ NA-L-alanine amidase ด้วยวิธีไซเดียมโอดเดซิลชัลเฟต์โพลีอะคริลามีดเจค อิเลคโทรโฟริซิส.....	49
19 แสดงการเพิ่มของกรดอะมิโนอิสระและปริมาณน้ำตาลรีดิวช์.....	51
20 แสดงการเปลี่ยนแปลงของค่าความชุ่นของเซลล์ <i>Bacillus subtilis</i> 168 ที่ความยาวคลื่น 650 นาโนเมตร ในสารละลายทดสอบที่ระยะเวลาต่างๆ.....	52
21 แสดงการเปลี่ยนแปลงของค่าความชุ่นของเซลล์ <i>Micrococcus luteus</i> TISTR 745 ที่ความยาวคลื่น 650 นาโนเมตร ในสารละลายทดสอบที่ระยะเวลาต่างๆ.....	53
22 แสดงการเปลี่ยนแปลงของค่าความชุ่นของเซลล์ <i>Streptococcus faecium</i> IFO 3128 ที่ความยาวคลื่น 650 นาโนเมตร ในสารละลายทดสอบที่ระยะเวลาต่างๆ.....	53
23 แสดงการเปลี่ยนแปลงของค่าความชุ่นของเซลล์ <i>Staphylococcus aureus</i> TISTR 118 ที่ความยาวคลื่น 650 นาโนเมตร ในสารละลายทดสอบที่ระยะเวลาต่างๆ.....	54

รูปที่	หน้า
24 แสดงการเปลี่ยนแปลงของค่าความชุ่นของเชลล์ <i>Escherichia coli</i> TISTR 780 ที่ความยาวคลื่น 650 นาโนเมตร ในสารละลายทดสอบที่ระยะเวลาต่างๆ.....	54
25 แสดงการเปลี่ยนแปลงของค่าความชุ่นของเชลล์ <i>Klebsiella pneumoniae</i> IFO 3317 ที่ความยาวคลื่น 650 นาโนเมตร ในสารละลายทดสอบที่ระยะเวลาต่างๆ.....	55
26 แสดงขนาดของโปรตีนที่พับเป็นองค์ประกอบของเอนไซม์ NA - L-alanine amidase ด้วยวิธีไซเดียมโอดีซิลซัลเฟตโพลีอะคริลามีดเจต อิเลคโทรโฟริซิต.....	58
27 แสดงการเปลี่ยนแปลงของค่าความชุ่นของเชลล์ <i>Bacillus subtilis</i> 168 ที่ความยาวคลื่น 650 นาโนเมตร ในสารละลายเอนไซม์กึ่งบริสุทธิ์ที่กำจัดโปรตีนบริเวณจุดจำข่องเอนไซม์ใบโอดินไลเกสออกเมื่อทดสอบ. ที่ระยะเวลาต่างๆ.....	60
28 แสดงการเปลี่ยนแปลงของค่าความชุ่นของเชลล์ <i>Micrococcus luteus</i> TISTR 745 ที่ความยาวคลื่น 650 นาโนเมตร ในสารละลายเอนไซม์ กึ่งบริสุทธิ์ ที่กำจัดโปรตีนบริเวณจุดจำข่องเอนไซม์ใบโอดินไลเกสออกเมื่อทดสอบที่ระยะเวลาต่างๆ.....	61
29 แสดงการเปลี่ยนแปลงของค่าความชุ่นของเชลล์ <i>Streptococcus faecium</i> IFO 3128 ที่ความยาวคลื่น 650 นาโนเมตร ในสารละลายเอนไซม์กึ่งบริสุทธิ์ที่กำจัดโปรตีนบริเวณจุดจำข่องเอนไซม์ใบโอดินไลเกสออกเมื่อทดสอบที่ระยะเวลาต่างๆ.....	61
30 แสดงการเปลี่ยนแปลงของค่าความชุ่นของเชลล์ <i>Staphylococcus aureus</i> TISTR 118 ที่ความยาวคลื่น 650 นาโนเมตร ในสารละลายเอนไซม์ กึ่งบริสุทธิ์ที่กำจัดโปรตีนบริเวณจุดจำข่องเอนไซม์ใบโอดินไลเกสออก เมื่อทดสอบที่ระยะเวลาต่างๆ.....	62
31 แสดงการเปลี่ยนแปลงของค่าความชุ่นของเชลล์ <i>Escherichia coli</i> TISTR 780 ที่ความยาวคลื่น 650 นาโนเมตร ในสารละลายเอน	

รูปที่	หน้า	
ไขม์กึ่งบริสุทธิ์ที่กำจัด โปรดีน บริเวณจุดจำกของเอนไขม์ไปโอดินໄล เกสออกเมื่อทดสอบที่ระยะเวลาต่างๆ.....		62
32 แสดงการเปลี่ยนแปลงของค่าความชื้นของเชลล์ <i>Klebsiella pneumoniae</i> IFO 3317 ที่ความยาวคลื่น 650 นาโนเมตร ในสารละลายเอนไขม์กึ่ง บริสุทธิ์ที่กำจัด โปรดีน บริเวณจุดจำกของเอนไขม์ไปโอดินໄลเกสออก. เมื่อทดสอบที่ระยะเวลาต่างๆ.....	63	
33 กราฟมาตราฐานโปรดีนบีเอสเอ.....	79	
34 กราฟมาตราฐานของกรดอะมิโนยิสระ.....	80	
35 กราฟมาตราฐานของน้ำตาลรีดิวช์.....	81	

คำย่อ

$^{\circ} \text{C}$. = องศาเซลเซียส

ช.m. = ชั่วโมง

ม.g. = มิลลิกรัม

ม.m. = มิลลิเมตร

ม.l. = มิลลิลิตร

% = เปอร์เซ็นต์

A_{280} = ค่าการดูดกลืนแสงที่ความยาวคลื่น 280 นาโนเมตร

A_{260} = ค่าการดูดกลืนแสงที่ความยาวคลื่น 260 นาโนเมตร